

541,118

BEST AVAILABLE COPY

(12) DEMANDE INTERNATIONALE PUBLIÉE EN VERTU DU TRAITÉ DE COOPÉRATION
EN MATIÈRE DE BREVETS (PCT)(19) Organisation Mondiale de la Propriété
Intellectuelle
Bureau international(43) Date de la publication internationale
12 août 2004 (12.08.2004)

PCT

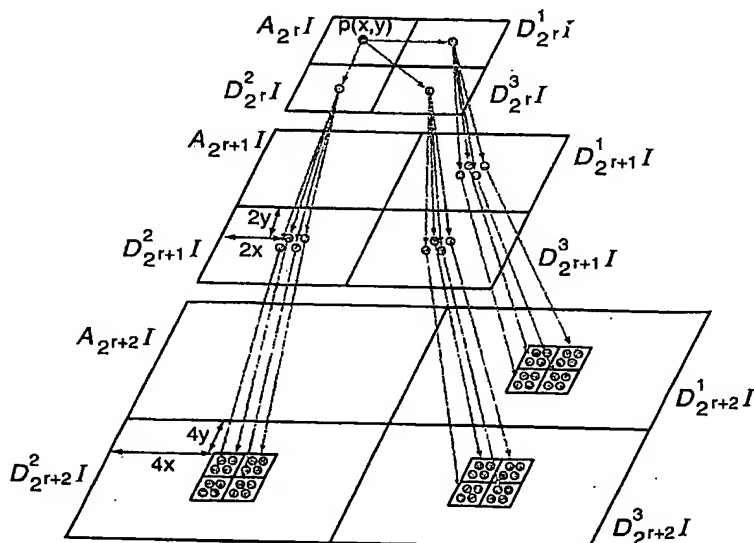
(10) Numéro de publication internationale
WO 2004/068410 A1

- (51) Classification internationale des brevets⁷ : G06T 5/00, 5/10, G06F 17/30
- (72) Inventeurs; et
- (75) Inventeurs/Déposants (*pour US seulement*) : LAURENT, Christophe [FR/FR]; 3, rue des Fraîches, F-35630 VIGNOC (FR). LAURENT, Nathalie [FR/FR]; 3, rue des Fraîches, F-35630 VIGNOC (FR).
- (21) Numéro de la demande internationale : PCT/FR2003/000834
- (22) Date de dépôt international : 14 mars 2003 (14.03.2003)
- (25) Langue de dépôt : français
- (26) Langue de publication : français
- (30) Données relatives à la priorité : 02/16929 31 décembre 2002 (31.12.2002) FR
- (71) Déposant (*pour tous les États désignés sauf US*) : FRANCE TELECOM [FR/FR]; 6, Place d'Alleray, F-75015 PARIS (FR).
- (74) Mandataire : VIDON, Patrice; Le Nobel, 2, allée Antoine Becquerel, BP 90333, F-35703 RENNES Cédex 7 (FR).
- (81) États désignés (*national*) : AE, AG, AL, AM, AT, AU, AZ, BA, BB, BG, BR, BY, BZ, CA, CH, CN, CO, CR, CU, CZ, DE, DK, DM, DZ, EC, EE, ES, FI, GB, GD, GE, GH, GM, HR, HU, ID, IL, IN, IS, JP, KE, KG, KP, KR, KZ, LC, LK, LR, LS, LT, LU, LV, MA, MD, MG, MK, MN, MW, MX, MZ, NO, NZ, OM, PH, PL, PT, RO, RU, SD, SE, SG, SI, SK, SL, TJ, TM, TN, TR, TT, TZ, UA, UG, US, UZ, VN, YU, ZA, ZM, ZW.

[Suite sur la page suivante]

(54) Title: METHOD AND DEVICE FOR DETECTION OF POINTS OF INTEREST IN A SOURCE DIGITAL IMAGE, CORRESPONDING COMPUTER PROGRAMME AND DATA SUPPORT

(54) Titre : PROCÉDÉ ET DISPOSITIF DE DÉTECTION DE POINTS D'INTÉRÊT DANS UNE IMAGE NUMÉRIQUE SOURCE, PROGRAMME D'ORDINATEUR ET SUPPORT DE DONNÉES CORRESPONDANTS.



(57) Abstract: The invention relates to a method for detection of points of interest in a source digital image, by means of a wavelet transformation associating a sub-sampled image, called a scaled image, with a source image and wavelet coefficients corresponding to at least one detail image, for at least one level of decomposition, a point of interest being a point associated with a region of the image with high frequencies. The method comprises the following steps:- application of said wavelet transformation to said source image, generation of a single tree structure from the wavelet coefficients of each of said detail images and selection of at least one point of interest by analysis of said tree structure.

WO 2004/068410 A1

[Suite sur la page suivante]



(84) États désignés (*régional*) : brevet ARIPO (GH, GM, KE, LS, MW, MZ, SD, SL, SZ, TZ, UG, ZM, ZW), brevet eurasien (AM, AZ, BY, KG, KZ, MD, RU, TJ, TM), brevet européen (AT, BE, CH, CY, DE, DK, ES, FI, FR, GB, GR, IE, IT, LU, MC, NL, PT, SE, TR), brevet OAPI (BF, BJ, CF, CG, CI, CM, GA, GN, GQ, GW, ML, MR, NE, SN, TD, TG).

Publiée :

— avec rapport de recherche internationale

En ce qui concerne les codes à deux lettres et autres abréviations, se référer aux "Notes explicatives relatives aux codes et abréviations" figurant au début de chaque numéro ordinaire de la Gazette du PCT.

(57) Abrégé : ABREGEProcédé et dispositif de détection de points d'intérêt dans une image numérique source, programme d'ordinateur et support de données correspondants.L'invention concerne un procédé de détection de points d'intérêt dans une image numérique source, ledit procédé mettant en uvre une transformation en ondelettes associant à une image source une image sous-échantillonnée, dite image échelle, et des coefficients ondelettes correspondant à au moins une image de détails, pour au moins un niveau de décomposition, un point d'intérêt étant un point associé à une région de l'image présentant des hautes fréquences. Le procédé comprend les étapes suivantes :- application de ladite transformation en ondelettes à ladite image source ;- construction d'une arborescence unique, à partir des coefficients ondelettes de chacune desdites images de détails ;- sélection d'au moins un point d'intérêt, par analyse de ladite arborescence.Figure 3

Procédé et dispositif de détection de points d'intérêt dans une image numérique source, programme d'ordinateur et support de données correspondants.

5 **1. domaine de l'invention**

Le domaine de l'invention est celui de la détection de points d'intérêt, encore appelés points saillants dans une image numérique. Plus précisément, l'invention concerne une technique de détection de points d'intérêt mettant en œuvre une approche de type ondelettes.

10 Un point d'intérêt peut être considéré comme le représentant d'une région spatiale de l'image véhiculant une partie importante de l'information.

Historiquement, la notion de point saillant a été proposée dans le domaine de la vision par ordinateur, où l'un des problèmes majeurs consistait à détecter les coins des objets (d'où le terme « saillant », utilisé par la suite à titre de synonyme 15 du terme « d'intérêt »). Plus tard, cette notion a été élargie à d'autres caractéristiques des images comme les contours, les jonctions, etc.

Dans le domaine du traitement d'images, la détection des points saillants correspondant aux coins des objets n'a que peu d'intérêt. En effet, les coins sont généralement des points isolés, ne représentant qu'une faible partie de 20 l'information contenue dans l'image. De plus, leur détection génère des amas de points saillants dans le cas de régions texturées ou bruitées.

Différentes autres techniques ont été proposées, s'intéressant notamment aux points saillants correspondant aux zones de hautes fréquences, c'est-à-dire aux contours des objets. L'invention s'applique plus précisément à ce type de 25 technique.

On présente ci-après plus en détail différentes techniques connues de détection de points saillants.

2. Etat de l'art

La détection de points saillants (aussi appelés points d'intérêt) dans les 30 images est un problème qui a suscité de nombreuses recherches depuis plusieurs

années. On présente dans cette section les principales approches retenues classiquement dans la littérature. On pourra se référer au document [5] (les documents auxquels il est fait référence sont regroupés en Annexe B) pour un état de l'art plus détaillé.

5 Une des premières méthodes a été proposée par Harris et Stephens [7] pour la détection des coins. Ce type de points étaient alors considérés comme véhiculant une quantité importante de l'information et trouvait son application dans le domaine de la vision par ordinateur.

10 Pour définir ce détecteur, on calcule en chaque point $p(x,y)$ de l'image I , la quantité :

$$R_{x,y} = \text{Det}(M_{x,y}) - k\text{Tr}(M_{x,y})^2$$

où $M_{x,y}$ est une matrice définie par :

$$M_{x,y} = G(\sigma) \otimes \begin{bmatrix} I_x^2(x,y) & I_x(x,y)I_y(x,y) \\ I_x(x,y)I_y(x,y) & I_y^2(x,y) \end{bmatrix}$$

où :

- 15 ❖ $G(\sigma)$ dénote un noyau gaussien de variance σ^2 ;
 ❖ \otimes dénote le produit de convolution ;
 ❖ I_x (resp. I_y) dénote la dérivée première de I suivant la direction x (resp. y) ;
 ❖ $\text{Det}(M_{x,y})$ dénote le déterminant de la matrice $M_{x,y}$;
 20 ❖ $\text{Tr}(M_{x,y})$ dénote la trace de la matrice $M_{x,y}$;
 ❖ k est une constante généralement utilisée avec une valeur de 0.04.

Les points saillants sont alors définis par les extrema locaux positif de la quantité $R_{x,y}$.

Dans [5], les auteurs proposent aussi une version plus précise du détecteur
 25 de Harris et Stephens. Cette version remplace le calcul des dérivées de l'image I par un calcul précis des dérivées du noyau gaussien.

Le détecteur de Harris et Stephens présenté ci-dessus a été étendu au cas des images couleurs dans [6]. Pour ce faire, les auteurs étendent la définition de la

matrice $M_{x,y}$, qui devient alors :

$$M_{x,y} = G(\sigma) \otimes \begin{bmatrix} (R_x^2 + G_x^2 + B_x^2)(x,y) & (R_x R_y + G_x G_y + B_x B_y)(x,y) \\ (R_x R_y + G_x G_y + B_x B_y)(x,y) & (R_y^2 + G_y^2 + B_y^2)(x,y) \end{bmatrix}$$

où :

- ❖ 5 R_x, G_x, B_x dénotent respectivement les dérivées premières des plans colorimétriques rouge, vert et bleu dans la direction x ;
- ❖ 10 R_y, G_y, B_y dénotent respectivement les dérivées premières des plans colorimétriques rouge, vert et bleu dans la direction y ;

Dans [10], les auteurs considèrent les points saillants comme les points de l'image présentant un fort contraste. Pour construire un tel détecteur, les auteurs 15 utilisent une approche multi-résolution basée sur la construction d'une pyramide gaussienne.

Supposons que l'image I soit de taille $2^N \times 2^N$. Nous pouvons définir une pyramide à N niveaux où le niveau 0 correspond à l'image originale et le niveau $N-1$ correspond à une image de 1 pixel.

15 Au niveau k de la pyramide, le contraste au point P est défini par :

$$C_k(P) = \frac{G_k(P)}{B_k(P)} \text{ avec } 0 \leq k \leq N-1 \text{ et } C_N(P) = 1$$

où $G_k(P)$ définit la luminance locale au point P et au niveau k , et $B_k(P)$ définit la luminance du fond local au point P et au niveau k .

Ces deux grandeurs sont calculées en chaque point et pour chaque 20 niveau de la pyramide. On peut donc les représenter par deux pyramides appelées pyramide de luminance et pyramide du fond et définies par :

$$G_k(P) = \sum_{M \in \text{Fils}(P)} w(M) G_{k-1}(M)$$

$$B_k(P) = \sum_{Q \in \text{Parent}(P)} W(Q) G_{k+1}(Q)$$

où :

- ❖ 25 Les notations $\text{Fils}(P)$ et $\text{Parent}(P)$ dénotent les relations de hiérarchie dans la pyramide gaussienne ;

- ❖ w est une fonction de poids normalisée pouvant être réglée afin de simuler la pyramide gaussienne ;
- ❖ W est une fonction de poids normalisée prenant en compte la façon dont P est utilisé pour construire la luminance de ses descendants dans la pyramide.

5 Dans cette approche, un point saillant est un point caractérisé par une valeur élevée du contraste local. Afin de prendre en compte la non symétrie de la grandeur C_k , les auteurs introduisent une nouvelle grandeur afin d'obtenir une valeur nulle pour une situation de non contraste et une valeur supérieure à zéro 10 partout ailleurs.

10 Cette nouvelle grandeur est définie par :

$$C_k^*(P) = \text{Min}\left(\frac{|G_k(P) - B_k(P)|}{B_k(P)}, \frac{|G_k(P) - B_k(P)|}{255 - B_k(P)}\right).$$

Avec cette nouvelle grandeur, les points saillants sont définis par les maxima locaux de C_k^* supérieurs à un seuil fixé.

15 Le détecteur de points saillants présenté initialement dans [11] est sans doute le plus proche de la présente invention puisqu'il est aussi basé sur l'utilisation de la théorie des ondelettes. En effet, les auteurs considèrent que les points véhiculant une partie importante de l'information sont localisés dans les régions de l'image présentant de hautes fréquences.

20 En utilisant des ondelettes à support compact, les auteurs sont capables de déterminer un ensemble de points du signal f (que l'on suppose pour l'instant mono-dimensionnel) qui ont été utilisés pour calculer n'importe quel coefficient ondelette $D_{2^j}f(n)$, et ce, à n'importe quelle résolution 2^j ($j \leq -1$).

25 A partir de cette constatation, une hiérarchie de coefficients ondelettes est construite. Cette hiérarchie détermine pour chaque niveau de résolution 2^j et pour chaque coefficient ondelette $D_{2^j}f(n)$ de ce niveau, l'ensemble des coefficients ondelettes du niveau de résolution immédiatement supérieur 2^{j+1} nécessaires pour calculer $D_{2^j}f(n)$:

$$C(D_{2^j}, f(n)) = \{D_{2^{j+1}} f(k), 2n \leq k \leq 2n + 2p - 1\}, 0 \leq n < 2^j N$$

où p dénote la régularité de la base d'ondelette utilisée (i.e. la taille du filtre ondelette) et N dénote la longueur du signal original f .

Ainsi, chaque coefficient ondelette $D_{2^j} f(n)$ est calculé à partir de $2^{-j} p$ 5 points du signal f . Ses coefficients fils $C(D_{2^j}, f(n))$ donnent la variation d'un sous-ensemble de ces $2^{-j} p$ points. Le sous-ensemble le plus saillant est celui dont le coefficient ondelette est maximal (en valeur absolue) au niveau de résolution 2^{j+1} .

Il convient donc de considérer ce coefficient à ce niveau de résolution. En 10 appliquant de façon récursive ce processus, un coefficient $D_{2^{j+1}} f(n)$ est sélectionné à la résolution $\frac{1}{2}$. Ce coefficient représente $2p$ points du signal f . Pour sélectionner le point saillant correspondant dans f , les auteurs proposent de retenir parmi ces $2p$ points, celui dont le gradient est maximal en valeur absolue.

Pour étendre cette approche aux signaux bi-dimensionnels que sont les 15 images, les auteurs appliquent la même approche à chacune des trois sous-bandes $D_2^1 I, D_2^2 I, D_2^3 I$ où I dénote l'image originale. Dans le cas des images, le support spatial de la base d'ondelette est de taille $2px2p$. Ainsi, le cardinal de $C(D_2^s, f(x, y))$ est de $4p^2$ pour tout $s=1,2,3$. Pour chaque orientation (horizontale, verticale et oblique), la méthode cherche, parmi les coefficients fils d'un 20 coefficient donné, celui dont l'amplitude est maximale. Si différents coefficients de différentes orientations amènent au même pixel de I , alors ce pixel est considéré comme un point saillant.

Cette technique a été notamment utilisé en indexation d'images dans [9].

3. Inconvénients des techniques antérieures

25 Comme cela est montré dans la section précédente, de nombreuses méthodes ont été proposées dans la littérature pour la détection de points saillants.

La différence majeure entre ces approches repose sur la définition même de point saillant. Historiquement, les chercheurs dans le domaine de la vision par ordinateur s'intéressaient aux coins des objets. C'est ainsi qu'a été proposé le

détecteur de Harris et Stephens [7] qui a été récemment étendu à la couleur dans [6]. Les coins des objets ne représentent cependant pas une information pertinente dans le domaine du traitement d'image. En effet, dans le cas d'images faiblement texturées, ces points vont être éparpillés dans l'espace et ne donneront pas une 5 représentation satisfaisante de l'image. Dans le cas d'images texturées ou bruitées, les points saillants seront tous concentrés dans les textures et donneront une représentation locale et non globale de l'image.

La définition de la saillance basée sur le contraste [10] est nettement plus intéressante pour le traitement d'image. Malheureusement, cette approche souffre 10 du même défaut que la précédente dans le cas de régions texturées ou bruitées.

15 ❖ L'approche basée sur les ondelettes proposée par E. Loupias et N. Sebe [11] est manifestement la plus robuste et la plus intéressante. En effet, on sait depuis longtemps que les contours représentent l'information primordiale d'une image puisqu'elle est en parfaite adéquation avec le système visuel humain.

4. objectifs et caractéristiques de l'invention

L'invention a donc notamment pour objectif de pallier les différents inconvenients de l'état de l'art.

Plus précisément, un objectif de l'invention est de fournir une technique de 20 détection de points saillants correspondant à une haute fréquence, et ne privilégiant aucune direction particulière dans l'image.

Un autre objectif de l'invention est de fournir une telle technique, qui nécessite un nombre réduit d'opérations, par rapport aux techniques connues.

Notamment, un objectif de l'invention est de fournir une telle technique 25 permettant d'utiliser des bases d'ondelettes avec un support de taille importante.

Ces objectifs, ainsi que d'autres qui apparaîtront plus clairement par la suite, sont atteints à l'aide d'un procédé de détection de points d'intérêt dans une image numérique source, ledit procédé mettant en œuvre une transformation en ondelettes associant à une image source une image sous-échantillonnée, dite 30 image échelle, et des coefficients ondelettes correspondant à au moins une image

de détails, pour au moins un niveau de décomposition, un point d'intérêt étant un point associé à une région de l'image présentant des hautes fréquences.

Selon l'invention, ce procédé comprend les étapes suivantes :

- application de ladite transformation en ondelettes à ladite image source ;
- construction d'une arborescence unique, à partir des coefficients ondelettes de chacune desdites images de détails ;
- sélection d'au moins un point d'intérêt, par analyse de ladite arborescence.

Dans le présent document, on appelle par simplification image source une image d'origine ou une image ayant subi un prétraitement (calcul de gradient, changement d'espace colorimétrique,...).

De façon avantageuse, on détermine, pour chaque niveau de décomposition, au moins deux images de détails correspondant respectivement à au moins deux directions prédéterminées par ladite transformation en ondelettes.

Cette transformation en ondelettes peut notamment utiliser des ondelettes de première ou de deuxième génération (basée maillage).

Notamment, lesdites images de détails peuvent comprendre :

- une image de détails représentant les hautes fréquences verticales ;
- une image de détails représentant les hautes fréquences horizontales ;
- une image de détails représentant les hautes fréquences diagonales,

De façon avantageuse, le procédé de l'invention comprend une étape de fusion des coefficients desdites images de détails, de façon à ne privilégier aucune direction de ladite image source.

De façon avantageuse, ladite étape de construction d'une arborescence repose sur une approche de type Zerotree.

Ainsi, préférentiellement, chaque point de l'image échelle de résolution minimum est la racine d'un arbre à laquelle on associe un nœud fils à chacun des coefficients ondelettes de chacune de la ou desdites images de détails localisés au même emplacement, puis on associe récursivement, à chaque nœud fils d'un

niveau de résolution donné, quatre nœuds fils formés par les coefficients ondelettes de l'image de détails de même type et du niveau de résolution précédent, et associée à la région correspondante de l'image source.

Selon un aspect avantageux de l'invention, ladite étape de sélection met en œuvre une étape de construction d'au moins une carte de saillance, affectant auxdits coefficients ondelettes une valeur de saillance représentative de son intérêt. Préférentiellement, on construit une carte de saillance pour chacun desdits niveaux de résolution.

De façon avantageuse, pour chacune desdites cartes de saillance, on fusionne pour chaque valeur de saillance les informations associées aux trois coefficients ondelettes correspondant aux trois images de détail, de façon à ne privilégier aucune direction dans l'image.

Selon un aspect préférentiel de l'invention, une valeur de saillance d'un coefficient ondelette donné d'un niveau de résolution donné prend en compte la ou les valeurs de saillance des coefficients ondelettes descendant dans ladite arborescence dudit coefficient ondelette donné.

Préférentiellement, une valeur de saillance est une relation linéaire des coefficients ondelettes associés.

Dans un mode de réalisation particulier de l'invention, la valeur de saillance d'un coefficient ondelette donné est calculée à partir des équations suivantes :

$$\begin{cases} S_{2^{-1}}(x, y) = \alpha_{-1} \left(\frac{1}{3} \sum_{u=1}^3 \frac{D_{2^{-1}}^u(x, y)}{\text{Max}(D_{2^{-1}}^u)} \right) \\ S_{2^j}(x, y) = \frac{1}{2} \left(\alpha_j \left(\frac{1}{3} \sum_{u=1}^3 \frac{D_{2^j}^u(x, y)}{\text{Max}(D_{2^j}^u)} \right) + \frac{1}{4} \sum_{u=0}^1 \sum_{v=0}^1 S_{2^{j+1}}(2x+u, 2y+v) \right) \end{cases}$$

Dans ces équations, le paramètre α_k peut par exemple valoir $-1/r$ pour toutes les valeurs de k .

Selon un autre aspect préférentiel de l'invention, ladite étape de sélection comprend une étape de construction d'une arborescence desdites valeurs de saillance, reposant avantageusement sur une approche de type Zerotree.

Dans ce cas, ladite étape de sélection comprend avantageusement les étapes de :

- tri par ordre décroissant des valeurs de saillance de la carte de saillance correspondant à la résolution minimum ;
- 5 - sélection de la branche présentant la valeur de saillance la plus élevée pour chacun des arbres ainsi triés.

Selon un aspect préférentiel de l'invention, ladite étape de sélection de la branche présentant la valeur de saillance la plus élevée met en œuvre un parcours de l'arbre correspondant à partir de sa racine, et une sélection à chaque niveau de 10 l'arbre du noeud fils présentant la valeur de saillance la plus élevée.

Comme déjà mentionné, l'invention permet d'utiliser de nombreuses transformations en ondelettes. Dans un mode de réalisation particulier, on met en œuvre la base de Haar.

Dans un mode de réalisation particulier, on choisit comme niveau minimal 15 de résolution 2^4 .

Le procédé de l'invention peut par ailleurs comprendre une étape de calcul d'une signature d'image, à partir d'un nombre prédéterminé de points d'intérêt de ladite image.

Ladite signature peut ainsi notamment être utilisée pour l'indexation 20 d'images par leur contenu.

Plus généralement l'invention trouve des applications dans de nombreux domaines, et par exemple pour :

- le tatouage d'images ;
- l'indexation d'images ;
- 25 - la détection de visage(s) dans une image.

L'invention concerne également les dispositifs de détection de points d'intérêt dans une image numérique source mettant en œuvre le procédé tel que décrit ci-dessus.

L'invention concerne encore les programmes d'ordinateur comprenant des 30 instructions de code de programme pour l'exécution des étapes du procédé de

détection de points d'intérêt décrit ci-dessus, et les supports de données numériques utilisables par un ordinateur portant un tel programme.

D'autres caractéristiques et avantages de l'invention apparaîtront à la lecture de la description suivante d'un mode de réalisation préférentiel, donné à 5 titre de simple exemple illustratif et non limitatif, et des dessins annexés parmi lesquels :

- la figure 1 illustre le principe de l'analyse multi-résolution d'une image I par transformation en ondelettes ;
- la figure 2 présente de façon schématique une transformation ondelette ;
- la figure 3 est une représentation d'une arborescence de coefficients ondelettes selon l'invention ;
- la figure 4 présente un exemple de cartes de saillance, et les arbres de saillance correspondants ;
- 10 - la figure 5 illustre la saillance d'une branche de l'arbre de la figure 4 ;
- les figures 6a et 6b illustrent des résultats expérimentaux du procédé de l'invention, la figure 6a présentant deux images originales et la figure 6b les points saillants correspondants ;
- 15 - la figure 7 illustre un procédé d'indexation d'images mettant en œuvre le procédé de détection de l'invention.

5. Identification des éléments techniques essentiels de l'invention

5.0 Principes généraux

Un but de l'invention est donc la détection des points saillants d'une image 25 *I*. Ces points correspondent aux pixels de *I* appartenant à des régions de haute fréquence. Pour ce faire, on se base sur la théorie des ondelettes [1][2][3]. L'Annexe A présente une brève présentation de cette théorie.

La transformée en ondelettes est une représentation multi-résolution de l'image qui permet d'exprimer l'image aux différentes résolutions $\frac{1}{2}, \frac{1}{4}, etc..$ 30 Ainsi, à chaque niveau de résolution $2^j (j \leq -1)$, la transformée en ondelettes

représente l'image I , de taille $n \times m = 2^k \times 2^l$ ($k, l \in \mathbb{Z}$), sous la forme :

- ❖ d'une image grossière $A_{2^0}I$;
- ❖ d'une image $D_{2^0}^1I$ de détails représentant les hautes fréquences verticales (i.e. les contours horizontaux) ;
- 5 ❖ d'une image $D_{2^0}^2I$ de détails représentant les hautes fréquences horizontales (i.e. les contours verticaux) ;
- ❖ d'une image $D_{2^0}^3I$ de détails représentant les hautes fréquences diagonales (i.e. les coins).

Chacune de ces images est de taille $2^{k+j} \times 2^{l+j}$. La figure 1 illustre ce type 10 de représentation.

Chacune de ces trois images est obtenue à partir $A_{2^{j+1}}I$ par un filtrage suivi d'un sous-échantillonnage d'un facteur deux dans chaque direction comme le montre la 2. Il est à noter que l'on a $A_{2^0}I = I$.

L'invention consiste à choisir, en premier lieu, une base d'ondelettes et un 15 niveau de résolution minimal 2^r ($r \leq -1$). Une fois la transformation ondelette effectuée, nous proposons de parcourir chacune des trois images de détails $D_{2^0}^1I$, $D_{2^0}^2I$ et $D_{2^0}^3I$ afin de construire une arborescence de coefficients ondelettes. Cette arborescence est basée sur l'approche Zerotree [4], initialement proposée pour le codage d'image. Elle permet de mettre en place une carte de saillance de taille 20 $2^{k+r} \times 2^{l+r}$ reflétant l'importance de chaque coefficient ondelette à la résolution 2^r ($r \leq -1$).

Ainsi, un coefficient ayant une saillance importante correspond à une 25 région de I présentant des hautes fréquences. En effet, un coefficient ondelette de module important à la résolution 2^r ($r \leq -1$) correspond à un contour de l'image $A_{2^{r+1}}I$ suivant une direction particulière (horizontale, verticale ou oblique). L'approche Zerotree nous indique que chacun des coefficients ondelettes à la résolution 2^r correspond à une zone spatiale de taille $2^{-r} \times 2^{-r}$ dans l'image I .

A partir de la carte de saillance construite, l'invention propose une méthodologie permettant de choisir parmi les $2^{-r} \times 2^{-r}$ pixels de I , le pixel le plus 30 représentatif de cette zone.

En termes d'applications potentielles, la détection de points saillants dans les images peut être utilisée, de façon non exhaustive :

- 5 ❖ Pour le tatouage d'images. Dans ce cas, les points saillants donnent des indication quant à la localisation possible de la marque afin de garantir sa robustesse ;
- 10 ❖ Pour l'indexation d'image. En détectant un nombre fixe de points saillants, on peut en déduire une signature de l'image (basée, par exemple, sur la colorimétrie autour des points saillants) qui peut ensuite être utilisée pour le calcul de similarités inter-images ;
- 15 ❖ Pour la détection de visages. Parmi les points saillants correspondant aux hautes fréquences de l'image, certains d'entre eux sont localisés sur les caractéristiques faciales (yeux, nez, bouche) des visages présents dans l'image. Ils peuvent alors être utilisés dans un procédé de détection de visages dans les images.

15 La technique de l'invention diffère de celle proposée par E. Loupias et N. Sebe [11]. Les principales différences sont les suivantes :

- 20 ❖ L'algorithme de recherche des points saillants proposé par Loupias et Sebe requiert une recherche parmi $2^{2j} \times 4p^2 \times 3$ coefficients pour chaque niveau de résolution 2^j et pour une image carrée. Notre algorithme est indépendant de la taille du support de la base d'ondelette, ce qui nous amène à une recherche parmi $2^{2j} \times 4 \times 3$ coefficients. Cet avantage nous permet de pouvoir utiliser des bases d'ondelette avec un support pouvant être de taille importante alors que la plupart des publications utilisant le détecteur de Loupias et Sebe utilisent la base de Haar, loin d'être optimale.

25 La méthode de Loupias et Sebe considèrent les sous-bandes indépendamment les unes des autres ce qui les amènent à détecter en priorité les points de gradient maximal dans toutes les directions (i.e. les coins). De notre côté, nous fusionnons l'information contenue dans les différentes sous-bandes ce qui nous permet de ne privilégier aucune direction particulière.

5.1 Transformation ondelette

La transformation ondelette est un outil mathématique puissant permettant l'analyse multi-résolution d'une fonction [1][2][3]. L'Annexe A pour un rapide survol de cet outil.

5 Dans le cas de l'invention, les fonctions considérées sont des images numériques c'est-à-dire des fonctions bi-dimensionnelles discrètes. Sans perte de généralités, nous supposons que les images traitées sont échantillonnées sur une grille discrète de n lignes et m colonnes et à valeur dans un espace de luminance échantillonné à 256 valeurs. De plus, nous supposons que $n = 2^k$ ($k \in \mathbb{Z}$) et que
10 $m = 2^l$ ($l \in \mathbb{Z}$).

Si nous notons I l'image originale, nous avons alors :

$$I: \begin{cases} [0, m] \times [0, n] \rightarrow [0, 255] \\ (x, y) \mapsto I(x, y) \end{cases}$$

15 Comme mentionné à la section 4, la transformation ondelette de I permet une représentation multi-résolution de I . A chaque niveau de résolution 2^j ($j \leq -1$), la représentation de I est donnée par une image grossière $A_{2^j}I$ et par trois images de détails $D_{2^j}^1I$, $D_{2^j}^2I$ et $D_{2^j}^3I$. Chacune de ces images est de taille $2^{k+j} \times 2^{l+j}$. Ce processus est illustré sur la figure 2.

20 La transformation ondelette nécessite le choix d'une fonction échelle $\Phi(x)$ ainsi que le choix d'une fonction ondelette $\Psi(x)$. A partir de ces deux fonctions, on dérive un filtre échelle H et un filtre ondelette G dont les réponses impulsionales respectives h et g sont définies par :

$$\begin{aligned} h(n) &= \langle \phi_{2^{-1}}(u), \phi(u-n) \rangle \forall n \in \mathbb{Z} \\ g(n) &= \langle \psi_{2^{-1}}(u), \phi(u-n) \rangle \forall n \in \mathbb{Z}. \end{aligned}$$

Notons respectivement \tilde{H} et \tilde{G} les filtres miroirs de H et G (i.e. $\tilde{h}(n) = h(-n)$ et $\tilde{g}(n) = g(-n)$).

25 On peut alors montrer [1] (cf. figure 2) que :

- ❖ $A_{2^j}I$ peut être calculée en convoluant $A_{2^{j+1}}I$ avec \tilde{H} dans les deux dimensions et en sous-échantillonnant d'un facteur deux dans les deux

dimensions ;

❖ $D_{2^j}^1 I$ peut être calculée en :

1. convoluant $A_{2^{j+1}} I$ avec \tilde{H} suivant la direction y et en sous-échantillonnant d'un facteur deux suivant cette même direction ;
- 5 2. convoluant le résultat de l'étape 1) avec \tilde{G} suivant la direction x et en sous-échantillonnant d'un facteur deux suivant cette même direction.

❖ $D_{2^j}^2 I$ peut être calculée en :

1. convoluant $A_{2^{j+1}} I$ avec \tilde{G} suivant la direction y et en sous-échantillonnant d'un facteur deux suivant cette même direction ;
- 10 2. convoluant le résultat de l'étape 1) avec \tilde{H} suivant la direction x et en sous-échantillonnant d'un facteur deux suivant cette même direction.

❖ $D_{2^j}^3 I$ peut être calculée en :

- 15 1. convoluant $A_{2^{j+1}} I$ avec \tilde{G} suivant la direction y et en sous-échantillonnant d'un facteur deux suivant cette même direction ;
2. convoluant le résultat de l'étape 1) avec \tilde{G} suivant la direction x et en sous-échantillonnant d'un facteur deux suivant cette même direction.

20 5.2 Construction de l'arborescence des coefficients ondelettes

Une fois la transformation ondelette effectuée jusqu'à la résolution $2^r (r \leq -1)$, on dispose :

- ❖ D'une image approximée $A_{2^r} I$;
- ❖ De trois images de détails $D_{2^j}^1 I$, $D_{2^j}^2 I$, $D_{2^j}^3 I$ par niveau de résolution 2^j avec $j = -1, \dots, r$.

On construit alors une arborescence des coefficients ondelettes en se basant sur la technique Zerotree [4]. Les arbres sont construits de la façon suivante (cf.figure 3) :

- ❖ Chaque pixel $p(x,y)$ de l'image $A_{2^r} I$ est la racine d'un arbre ;

- ❖ Chaque racine $p(x,y)$ se voit attribuer trois nœuds fils désignés par les coefficients ondelettes des trois images de détails $D_{2^r}^s I$ ($s=1,2,3$) localisés au même emplacement (x,y) ;
- ❖ Du fait du sous-échantillonnage d'un facteur deux effectué par la transformation ondelette à chaque changement de résolution, chaque coefficient ondelette $\alpha_{2^r}^s(x,y)$ ($s=1,2,3$) correspond à une zone de taille 2×2 pixels dans l'image détail correspondante à la résolution 2^{r+1} . Cette zone est localisée en $(2x,2y)$ et tous les coefficients ondelettes y appartenant deviennent les nœuds fils de $\alpha_{2^r}^s(x,y)$.

5 De façon récursive, on construit l'arborescence dans laquelle chaque coefficient ondelette $\alpha_{2^r}^s(x,y)$ ($s=1,2,3$ et $0 > u > r$) possède quatre nœuds fils désignés par les coefficients ondelettes de l'image $D_{2^{u+1}}^s I$ localisés dans la région située en $(2x,2y)$ et de taille 2×2 pixels.

10 Une fois l'arborescence construite, chaque coefficient ondelette $\alpha_{2^r}^s(x,y)$ ($s=1,2,3$) correspond à une région de taille $2^{-r} \times 2^{-r}$ pixels dans l'image détail $D_{2^{-1}}^s I$.

5.3 Construction des cartes de saillance

15 A partir de l'arborescence obtenue par l'étape précédente, nous proposons de construire en ensemble de $-r$ cartes de saillance (i.e. une carte de saillance par niveau de résolution). Chaque carte de saillance S_{2^j} ($j=-1, \dots, r$) reflète 20 l'importance des coefficients ondelettes présents à la résolution correspondante 2^j . Ainsi, plus un coefficient ondelette sera jugé important au sens de l'information qu'il véhicule, plus sa valeur de saillance sera importante.

Il est à noter que chaque coefficient ondelette privilégie une direction 25 (horizontale, verticale ou oblique) suivant l'image de détails à laquelle il appartient. Cependant, nous avons choisi de ne privilégier aucune direction particulière et nous avons donc fusionné l'information contenue dans les trois coefficients ondelettes $\alpha_{2^j}^1(x,y), \alpha_{2^j}^2(x,y), \alpha_{2^j}^3(x,y)$ quelque soit le niveau de résolution 2^j et quelque soit la localisation (x,y) avec $0 \leq x < 2^{k+j}$ et $0 \leq y < 2^{l+j}$.
30 Chaque carte de saillance S_{2^j} est de taille $2^{k+j} \times 2^{l+j}$.

D'autre part, la saillance de chaque coefficient à la résolution 2^j doit prendre en compte la saillance de ses descendants dans l'arborescence des coefficients.

5 Afin de prendre en compte l'ensemble de ces propriétés, la saillance d'un coefficient localisé en (x,y) à la résolution 2^j est donnée par la relation récursive suivante :

$$\begin{cases} S_{2^{-1}}(x,y) = \alpha_{-1} \left(\frac{1}{3} \sum_{u=1}^3 \frac{D_{2^{-1}}^u(x,y)}{\text{Max}(D_{2^{-1}}^u)} \right) \\ S_{2^j}(x,y) = \frac{1}{2} \left(\alpha_j \left(\frac{1}{3} \sum_{u=1}^3 \frac{D_{2^j}^u(x,y)}{\text{Max}(D_{2^j}^u)} \right) + \frac{1}{4} \sum_{u=0}^1 \sum_{v=0}^1 S_{2^{j+1}}(2x+u, 2y+v) \right) \end{cases}$$

Équation 1: expression de la saillance d'un coefficient

10 où

- ❖ $\text{Max}(D_{2^j}^s)$ ($s=1,2,3$) dénote la valeur maximale des coefficients ondelettes dans l'image détail $D_{2^j}^s I$;
- ❖ α_k ($0 \leq \alpha_k \leq 1$) permet de régler l'importance des coefficients de saillance suivant le niveau de résolution. Il est à noter que l'on a $\sum_k \alpha_k = 1$.
- 15 ❖ Il est important de noter que les valeurs de saillance sont normalisées i.e. $0 \leq S_{2^j}(x,y) \leq 1$.

20 Comme on peut le voir sur l'Équation 1, la saillance d'un coefficient est une relation linéaire des coefficients ondelettes. En effet, comme nous l'avons mentionné en section 4, nous considérons les points saillants comme des pixels de l'image appartenant à des régions de haute fréquence. Or, un coefficient ondelette $\alpha_{2^j}^s(x,y)$ ($s=1,2,3$) élevé à la résolution 2^j dénote une zone de haute fréquence dans l'image $A_{2^{j+1}} I$ à la localisation $(2x, 2y)$. En effet, les images de détails étant obtenues par un filtrage passe-haut de l'image $A_{2^{j+1}} I$, chaque contour de $A_{2^{j+1}} I$ génère un coefficient ondelette élevé dans une des images de détail à la résolution 2^j et correspondant à l'orientation du contour.

25 Ainsi, la formulation de la saillance d'un coefficient donnée dans l'Équation

1 se justifie.

5.4 Choix des points saillants

Une fois la construction des cartes de saillance achevée, nous proposons une méthode afin de choisir les points les plus saillants dans l'image originale.

5 Pour ce faire, nous construisons une arborescence des valeurs de saillance à partir des $-r$ cartes de saillance construites. De façon analogue à la construction de l'arborescence des coefficients ondelettes, nous pouvons construire 2^{k+l+2r} arbres de coefficients de saillance, chacun ayant pour racine un coefficient de S_{2^r} .

10 Comme pour la technique Zerotree, chacun de ces coefficients correspond à une zone de taille 2×2 coefficients dans la carte $S_{2^{r+1}}$. On peut alors construire récursivement l'arbre dans lequel chaque nœud se voit attribuer quatre nœuds fils dans la carte de saillance de résolution immédiatement supérieure. La figure 4 illustre cette construction.

Afin de localiser les points les plus saillants dans I , nous procédons :

- 15 1. à un tri par ordre décroissant des 2^{k+l+2r} valeurs de saillance présentes dans S_{2^r} ;
2. à la sélection de la branche de saillance maximale de chacun des 2^{k+l+2r} arbres ainsi triés.

20 Afin de sélectionner cette branche, nous proposons d'effectuer un parcours de l'arbre à partir de la racine dans lequel nous sélectionnons à chaque niveau de l'arbre le nœud fils ayant la valeur de saillance la plus importante (cf. figure 5). Nous obtenons ainsi une liste de $-r$ valeurs de saillance :

$$\text{Branche saillante} = \{s_{2^r}(x_1, y_1), s_{2^{r+1}}(x_2, y_2), \dots, s_{2^{-r}}(x_{-r}, y_{-r})\}$$

avec $(x_k, y_k) = \text{Arg Max}\{s_{2^{r+(k-2)}}(2x_{k-1} + u, 2y_{k-1} + v), 0 \leq u \leq 1, 0 \leq v \leq 1\}$.

25 A partir des branches les plus saillantes de chaque arbre, le pixel de I choisi comme étant le plus représentatif de la branche est localisé en $(2x_{-r}, 2y_{-r})$. Dans la pratique, on parcourt uniquement un sous-ensemble des 2^{k+l+2r} arbres. En effet, pour de nombreuses applications, on recherche un nombre fixe n de points saillants. Dans ce cas, il convient de ne parcourir que les n arbres ayant les racines

les plus saillantes.

6. Description détaillée d'au moins un mode particulier de réalisation

Dans cette section, nous utilisons les éléments techniques présentés dans la 5 section précédente dont nous fixons les paramètres nécessaires afin de décrire un mode particulier de réalisation.

6.1 Choix de la transformation ondelette

Comme nous l'avons mentionné en section 5.1, nous devons en premier lieu choisir une base d'ondelettes et le niveau minimal de résolution 2^r ($r \leq -1$).

10 Pour ce mode particulier de réalisation, nous proposons d'utiliser la base de Haar et $r=-4$.

La base de Haar est définie par :

$$\phi(x) = \begin{cases} 1 & \text{si } 0 \leq x < 1 \\ 0 & \text{sinon} \end{cases}$$

15

pour la fonction échelle, et par :

$$\psi(x) = \begin{cases} 1 & \text{si } 0 \leq x < \frac{1}{2} \\ -1 & \text{si } \frac{1}{2} \leq x < 1 \\ 0 & \text{sinon} \end{cases}$$

pour la fonction ondelette.

6.2 Construction de l'arborescence des coefficients ondelettes

20 Dans cette étape, aucun paramètre n'est requis. Le processus est donc conforme à ce qui est décrit dans la section 5.1.

6.3 Construction des cartes de saillance

Dans cette étape, nous devons choisir les paramètres α_k ($-1 \geq k \geq r$) permettant de régler l'importance accordé aux coefficients de saillance suivant le 25 niveau de résolution auquels ils appartiennent.

Dans ce cas particulier de réalisation, nous proposons d'utiliser

$$\alpha_k = \frac{-1}{r} \forall k \in [r, -1].$$

6.4 Choix des points saillants

Cette étape ne requiert aucun paramètre. Le processus est donc conforme à ce qui est décrit dans la section 5.4.

5 6.5 Résultats expérimentaux

Les résultats obtenus sur des images naturelles en utilisant les paramètres proposés dans ce mode particulier de réalisation sont illustrés sur la figure 6.

6.6 Exemple d'application

Parmi les applications potentielles listées dans la section 4, nous
10 présentons dans cette section l'utilisation des points saillants pour l'indexation d'images fixes par le contenu.

6.6.1 But de l'indexation d'images

L'indexation d'images par le contenu permet de retrouver, parmi une base de données d'images, un ensemble d'images visuellement similaires à une image
15 donnée appelée *image requête*. Pour ce faire, des caractéristiques visuelles (appelées aussi *descripteurs*) sont extraites des images et forment la signature de l'image.

Les signatures des images appartenant à la base de données sont calculées off-line et sont stockées dans la base de données. Lorsque l'utilisateur soumet par
20 la suite une image requête au moteur d'indexation, le moteur calcule la signature de l'image requête et rapproche cette signature des signatures pré-calculées de la base de données.

Ce rapprochement est effectué en calculant la distance entre la signature de l'image requête et les signatures de la base de données. Les images les plus
25 similaires à l'images requête sont alors celles dont la signature minimise la distance calculée. La figure 7 illustre ce procédé.

Toute la difficulté de l'indexation d'images consiste alors à déterminer des descripteurs et des distances robustes.

6.6.2 Descripteurs basés sur les points saillants d'une image

30 Nous proposons dans cette section de calculer la signature d'une image à

partir d'un nombre fixe de points saillants. Cette approche est inspirée de [9].

Un descripteur colorimétrique et un descripteur de texture sont extraits au voisinage de chacun des points saillants. Le descripteur colorimétrique est constitué des moments d'ordre 0 (moyenne), 1 (variance) et 2 dans un voisinage

- 5 de taille 3x3 autour de chaque point saillant. Le descripteur de texture est constitué des moments de Gabor dans un voisinage de taille 9x9.

Une fois la signature de l'image requête R calculée, la distance $D(R, I_j)$ entre cette signature et la signature de la $j^{ème}$ image I_j dans la base de données est définie par :

$$10 \quad D(R, I_j) = \sum_i W_i S_j(f_i), j = 1, \dots, N$$

où N dénote le nombre d'images dans la base de données et $S_j(f_i)$ est définie par :

$$S_j(f_i) = (x_i - q_i)^T (x_i - q_i)$$

où x_i et q_i désignent respectivement le $i^{ème}$ descripteur (par exemple $i=1$ pour le descripteur colorimétrique et $i=2$ pour le descripteur de texture) de la $j^{ème}$ image

- 15 de la base et de l'image requête R . Les poids W_i permettent de moduler l'importance des descripteurs les uns par rapport aux autres.

Annexe A : Survol de la théorie des ondelettes

A.1 Introduction

La théorie des ondelettes [1][2][3] permet d'approximer une fonction (courbe, surface, etc.) à différentes résolutions. Ainsi, cette théorie permet de 5 décrire une fonction sous la forme d'une approximation grossière et d'une série de détails permettant de reconstruire parfaitement la fonction originale.

Une telle représentation multi-résolution [1] d'une fonction permet donc d'interpréter de façon hiérarchique l'information contenue dans la fonction. Pour ce faire, cette information est réorganisée en un ensemble de détails apparaissant à 10 différentes résolutions. Partant d'une séquence de résolutions croissantes $(r_j)_{j \in \mathbb{Z}}$, les détails d'une fonction à la résolution r_j sont définis comme la différence d'information entre son approximation à la résolution r_j et son approximation à la résolution r_{j+1} .

A.2 Notations

15 Avant de présenter plus en détail les fondements de l'analyse multi-résolution, nous présentons dans cette section les notations qui seront utilisées dans le document.

- ❖ Les ensembles des nombres entiers et réels sont respectivement notés \mathbb{Z} et \mathbb{R} .
- 20 $L^2(\mathbb{R})$ dénote l'espace vectoriel des fonctions unidimensionnelles $f(x)$ mesurables et intégrables.
- ❖ Pour $f(x) \in L^2(\mathbb{R})$ et $g(x) \in L^2(\mathbb{R})$, le produit scalaire de $f(x)$ et $g(x)$ est défini par :

$$\langle f(x), g(x) \rangle = \int_{-\infty}^{+\infty} f(u)g(u)du .$$

- 25 ❖ Pour $f(x) \in L^2(\mathbb{R})$ et $g(x) \in L^2(\mathbb{R})$, la convolution de $f(x)$ et $g(x)$ est définie par :

$$f * g(x) = \int_{-\infty}^{+\infty} f(u)g(x-u)du .$$

- ❖ $L^2(\mathbb{R}^2)$ dénote l'espace vectoriel des fonctions $f(x,y)$ de deux variables mesurables et intégrables.

❖ Pour $f(x,y) \in L^2(R^2)$ et $g(x,y) \in L^2(R^2)$, le produit scalaire de $f(x,y)$ et $g(x,y)$ est défini par :

$$\langle f(x,y), g(x,y) \rangle = \int_{-\infty}^{+\infty} \int_{-\infty}^{+\infty} f(u,v)g(u,v)dudv.$$

A.3 Propriétés de l'analyse multi-résolution

5 Dans cette section, nous présentons de manière intuitive les propriétés désirées de l'opérateur permettant l'analyse multi-résolution d'une fonction. Ces propriétés sont issues de [1].

Soit A_{2^j} l'opérateur qui approxime une fonction $f(x) \in L^2(R)$ à la résolution 2^j ($j \geq 0$) (i.e. $f(x)$ est définie par 2^j échantillons).

10 Les propriétés attendues de A_{2^j} sont les suivantes :

1. A_{2^j} est un opérateur linéaire. Si $A_{2^j}f(x)$ représente l'approximation de $f(x)$ à la résolution 2^j , alors $A_{2^j}f(x)$ ne doit pas être modifié lorsqu'on l'approxime de nouveau à la résolution 2^j . Ce principe s'écrit $A_{2^j}O A_{2^j} = A_{2^j}$, et montre que l'opérateur A_{2^j} est un opérateur de projection dans un espace vectoriel $V_{2^j} \subset L^2(R)$. Cet espace vectoriel peut être interprété comme l'ensemble de toutes les approximations possibles à la résolution 2^j des fonctions de $L^2(R)$.

15 2. Parmi toutes les approximations possibles de $f(x)$ à la résolution 2^j , $A_{2^j}f(x)$ est la plus similaire à $f(x)$. L'opérateur A_{2^j} est donc une projection orthogonale sur V_{2^j} .

20 3. L'approximation d'une fonction à la résolution 2^{j+1} contient toute l'information nécessaire pour calculer la même fonction à la résolution inférieure 2^j . Cette propriété de causalité induit la relation suivante :

25 $\forall j \in Z, V_{2^j} \subset V_{2^{j+1}}$.

4. L'opération d'approximation est la même à toutes les résolutions. Les espaces des fonctions approximées peuvent être dérivés les uns des autres par un changement d'échelle correspondant à la différence de résolution :

$$\forall j \in Z, f(x) \in V_{2^j} \Leftrightarrow f(2x) \in V_{2^{j+1}}.$$

5. Lorsque l'on calcule une approximation de $f(x)$ à la résolution 2^j , une partie de l'information contenue dans $f(x)$ est perdue. Cependant, lorsque la résolution tend vers l'infini, la fonction approximée doit converger vers la fonction $f(x)$ originale. De la même façon, lorsque la résolution tend vers zéro, la fonction approximée contient moins d'information et doit converger vers zéro.

Tout espace vectoriel $(V_{2^j})_{j \in Z}$ qui satisfait l'ensemble de ces propriétés est appelé *approximation multi-résolution de $L^2(R)$* .

10 **A.4 Analyse multi-résolution d'une fonction unidimensionnelle**

A.4.1 Recherche d'une base de V_{2^j}

Nous avons vu dans la section A.3 que l'opérateur d'approximation A_{2^j} est une projection orthogonale sur l'espace vectoriel V_{2^j} . Afin de caractériser 15 numériquement cet opérateur, nous devons trouver une base orthonormale de V_{2^j} .

V_{2^j} étant un espace vectoriel contenant les approximations de fonctions de $L^2(R)$ à la résolution 2^j , toute fonction $f(x) \in V_{2^j}$ peut être vue comme un vecteur à 2^j composantes. Il nous faut donc trouver 2^j fonctions de base.

Un des théorèmes principaux de la théorie des ondelettes stipule qu'il 20 existe une fonction unique $\Phi(x) \in L^2(R)$, appelée fonction échelle, à partir de laquelle on peut définir 2^j fonctions de base $\Phi_i^j(x)$ de V_{2^j} par dilatation et translation de $\Phi(x)$:

$$\Phi_i^j(x) = \Phi(2^j x - i), i = 0, \dots, 2^j - 1.$$

Approximer une fonction $f(x) \in L^2(R)$ à la résolution 2^j revient donc à 25 projeter de façon orthogonale $f(x)$ sur les 2^j fonctions de base $\Phi_i^j(x)$. Cette opération consiste à calculer le produit scalaire de $f(x)$ avec chacune des 2^j fonctions de base $\Phi_i^j(x)$:

$$\begin{aligned} A_{2^j}f(x) &= \sum_{k=0}^{k=2^j-1} \langle f(u), \Phi_k^j(u) \rangle \Phi_k^j(x) \\ &= \sum_{k=0}^{k=2^j-1} \langle f(u), \Phi(2^j u - k) \rangle \Phi(2^j u - k). \end{aligned}$$

On peut montrer [1] que $A_{2^j}f(x)$ peut être réduit la convolution de $f(x)$ avec le filtre passe-bas $\Phi(x)$, évaluée au point k :

$$A_{2^j}f = (f(u) * \Phi(-2^j u))(k), k \in \mathbb{Z}.$$

5 Comme $\Phi(x)$ est un filtre passe-bas, $A_{2^j}f$ peut être interprété comme un filtrage passe-bas suivi d'un sous-échantillonnage uniforme.

A.4.2 Construction de l'analyse multi-résolution

Dans la pratique, les fonctions f à approximer (signal, image, etc.) sont discrètes. Supposons que la fonction $f(x)$ originale soit définie sur $n = 2^k$ ($k \in \mathbb{Z}$) 10 échantillons. La résolution maximale de $f(x)$ est alors n .

Soit $A_n f$ l'approximation discrète de $f(x)$ à la résolution n . La propriété de causalité (cf. section A.3) prétend que l'on peut calculer $A_{2^j}f$ à partir de $A_n f$ pour tout $j < k$.

En effet, en calculant la projection des 2^j fonctions de base $\Phi_i^j(x)$ de 15 V_{2^j} sur $V_{2^{j+1}}$, on peut montrer que $A_{2^j}f$ peut être obtenue en convoluant $A_{2^{j+1}}f$ avec le filtre passe-bas correspondant à la fonction échelle et en sous-échantillonnant le résultat d'un facteur 2 :

$$A_{2^j}f(u) = \sum_{k=0}^{2^{j+1}-1} h(k - 2u) A_{2^{j+1}}f(k), 0 \leq u < 2^j - 1$$

$$\text{avec } h(n) = \langle \Phi(2u), \Phi(u - n) \rangle, \forall n \in \mathbb{Z}.$$

20 **A.4.3 La fonction détail**

Comme mentionné dans la propriété (5) de la section A.3, l'opération qui consiste à approximer une fonction $f(x)$ à une résolution 2^j à partir d'une approximation à la résolution 2^{j+1} génère une perte d'information.

Cette perte d'information est contenue dans une fonction appelée fonction 25 détail à la résolution 2^j et notée $D_{2^j}f$. Il est à noter que la connaissance de

$D_{2^j}f$ et $A_{2^j}f$ permet de reconstruire parfaitement la fonction approximée $A_{2^{j+1}}f$.

La fonction détail à la résolution 2^j est obtenue en projetant de manière orthogonale la fonction originale $f(x)$ sur le complément orthogonal de V_{2^j} dans $V_{2^{j+1}}$. Soit W_{2^j} cet espace vectoriel.

5 Pour calculer numériquement cette projection, nous avons besoin de trouver une base orthonormale de W_{2^j} , c'est-à-dire 2^j fonctions de base. Un autre théorème important de la théorie des ondelettes stipule qu'à partir d'une fonction échelle $\Phi(x)$, il est possible de définir 2^j fonctions de base de W_{2^j} . Ces fonctions de base $\Psi_i^j(x)$ sont obtenues par dilatation et translation d'une fonction 10 $\Psi(x)$ appelée fonction ondelette :

$$\Psi_i^j(x) = \Psi(2^j x - i), i = 0, 1, \dots, 2^j - 1.$$

De la même façon que pour la construction de l'approximation $A_{2^j}f$, on peut montrer que $D_{2^j}f$ peut être obtenu par une convolution de la fonction originale $f(x)$ avec le filtre passe-haut $\Psi(x)$ suivi d'un sous-échantillonnage d'un 15 facteur 2^j :

$$D_{2^j}f = (f(u) * \Psi(-2^j u))(k), k \in \mathbb{Z}.$$

A.4.5 Extension à l'analyse multi-résolution de fonction bi-dimensionnelles

Dans cette section, nous présentons la manière d'étendre l'analyse multi-20 résolution par ondelettes aux fonctions de $L^2(\mathbb{R}^2)$ comme les images.

Pour ce faire, on utilise les mêmes théorèmes que ceux utilisés précédemment. Ainsi, si l'on note V_{2^j} l'espace vectoriel des approximations de $L^2(\mathbb{R}^2)$ à la résolution 2^j , on peut montrer que l'on peut trouver une base orthonormale de V_{2^j} en dilatant et translatant une fonction échelle 25 $\Phi(x, y) \in L^2(\mathbb{R}^2)$:

$$\Phi_i^j(x, y) = \Phi(2^j x - i, 2^j y - j), (i, j) \in \mathbb{Z}^2.$$

Dans le cas particulier des approximations séparables de $L^2(\mathbb{R}^2)$, on a $\Phi(x, y) = \Phi(x)\Phi(y)$ où $\Phi(x)$ est une fonction échelle de $L^2(\mathbb{R})$. Dans ce cas, l'analyse multi-résolution d'une fonction de $L^2(\mathbb{R}^2)$ est effectué en traitant de 30 façon séquentielle et séparable chacune des dimensions x et y .

Comme dans le cas unidimensionnel, la fonction détail à la résolution 2^j est obtenue par une projection orthogonale de $f(x,y)$ sur le complément de V_{2^j} dans $V_{2^{j+1}}$, noté W_{2^j} . Dans le cas bidimensionnel, on peut montrer que si l'on note $\Psi(x)$ la fonction ondelette associé à la fonction échelle $\Phi(x)$, alors les trois fonctions définies par :

$$\Psi^1(x,y) = \Phi(x)\Psi(y)$$

$$\Psi^2(x,y) = \Psi(x)\Phi(y)$$

$$\Psi^3(x,y) = \Psi(x)\Psi(y)$$

sont des fonctions ondelettes de $L^2(R^2)$. En dilatant et translatant ces trois fonctions ondelettes, on obtient une base orthonormale de W_{2^j} :

$$\Psi_j^1(x,y) = \Phi\Psi(2^j x - k, 2^j y - l)$$

$$\Psi_j^2(x,y) = \Psi\Phi(2^j x - k, 2^j y - l)$$

$$\Psi_j^3(x,y) = \Psi\Psi(2^j x - k, 2^j y - l).$$

La projection de $f(x,y)$ sur ces trois fonctions de la base de W_{2^j} donne trois fonctions détails :

$$D_{2^j}^1 f = f(x,y) * \Phi^j(-x)\Psi_j(-y)$$

$$D_{2^j}^2 f = f(x,y) * \Psi^j(-x)\Phi_j(-y)$$

$$D_{2^j}^3 f = f(x,y) * \Psi^j(-x)\Psi_j(-y)$$

Annexe B : Références

- [1] Mallat S., “*A Theory for Multiresolution Signal Decomposition: the Wavelet Representation*”, IEEE Transactions on Pattern Analysis and Machine Intelligence, Vol. 11, No. 7, Juillet 1989, pp. 674-693.
- [2] Stollnitz E.J., DeRose T.D., Salesin D., “*Wavelets for Computer Graphics: A Primer-Part 1*”, IEEE Computer Graphics and Applications, Mai 1995, pp.76-84.
- [3] Stollnitz E.J., DeRose T.D., Salesin D., “*Wavelets for Computer Graphics: A Primer-Part 2*”, IEEE Computer Graphics and Applications, Juillet 1995, pp.75-85.
- [4] Shapiro J.M., “*Embedded Image Coding Using Zerotrees of Wavelet Coefficients*”, IEEE Transactions on Signal Processing, Vol. 41, No. 12, Décembre 1993, pp. 3445-3462.
- [5] Schmid C., Mohr R. et Bauckhage C., “*Evaluation of Interest Point Detectors*”, International Journal of Computer Vision, Vol. 37, No 2, pp. 151-172, 2000.
- [6] Gouet V. et Boujemaa N., “About Optimal Use of Color Points of Interest for Content-Based Image Retrieval”, Rapport de recherche INRIA, No 4439, Avril 2002.
- [7] Harris C. et Stephens M., “*A Combined Corner and Edge Detector*”, Proceedings of the 4th Alvey Vision Conference, 1988.
- [9] Sebe N. et Lew M.S., “*Salient Points for Content-based Retrieval*”, Proceedings of British Machine Vision Conference, Manchester, 2001.
- [10] Bres S. et Jolion J.M., “*Detection of Interest Points for Image Indexation*”.
- [11] Loupias E. et Sebe N., “*Wavelet-based Salient Points for Image Retrieval*”, Rapport de recherche RR 99.11, INSA Lyon, 1999.

REVENDICATIONS

1. Procédé de détection de points d'intérêt dans une image numérique source, ledit procédé mettant en œuvre une transformation en ondelettes associant à une image source une image sous-échantillonnée, dite image échelle, et des coefficients ondelettes correspondant à au moins une image de détails, pour au moins un niveau de décomposition,
5 un point d'intérêt étant un point associé à une région de l'image présentant des hautes fréquences, caractérisé en ce qu'il comprend les étapes suivantes :
 - 10 - application de ladite transformation en ondelettes à ladite image source ;
 - construction d'une arborescence unique, à partir des coefficients ondelettes de chacune desdites images de détails ;
 - sélection d'au moins un point d'intérêt, par analyse de ladite arborescence.
- 15 2. Procédé selon la revendication 1, caractérisé en ce qu'on détermine, pour chaque niveau de décomposition, au moins deux images de détails correspondant respectivement à au moins deux directions prédéterminées par ladite transformation en ondelettes.
- 20 3. Procédé selon la revendication 2, caractérisé en ce que lesdites images de détails comprennent :
 - une image de détails représentant les hautes fréquences verticales ;
 - une image de détails représentant les hautes fréquences horizontales ;
 - une image de détails représentant les hautes fréquences diagonales,
- 25 4. Procédé selon l'une quelconque des revendications 2 et 3, caractérisé en ce qu'il comprend une étape de fusion des coefficients desdites images de détails, de façon à ne privilégier aucune direction de ladite image source.
5. Procédé selon l'une quelconque des revendications 1 à 4, caractérisé en ce que ladite étape de construction d'une arborescence repose sur une approche de
30 type Zerotree.

6. Procédé selon l'une quelconque des revendications 1 à 5, caractérisé en ce que chaque point de l'image échelle de résolution minimum est la racine d'un arbre à laquelle on associe un nœud fils à chacun des coefficients ondelettes de chacune de la ou desdites images de détails localisés au même emplacement,
- 5 puis en ce qu'on associe récursivement, à chaque nœud fils d'un niveau de résolution donné, quatre nœuds fils formés par les coefficients ondelettes de l'image de détails de même type et du niveau de résolution précédent, et associée à la région correspondante de l'image source.
7. Procédé selon l'une quelconque des revendications 1 à 6, caractérisé en ce que ladite étape de sélection met en œuvre une étape de construction d'au moins une carte de saillance, affectant auxdits coefficients ondelettes une valeur de saillance représentative de son intérêt.
- 10 8. Procédé selon la revendication 7, caractérisé en ce que l'on construit une carte de saillance pour chacun desdits niveaux de résolution.
- 15 9. Procédé selon l'une quelconque des revendications 7 et 8, caractérisé en ce que, pour chacune desdites cartes de saillance, on fusionne pour chaque valeur de saillance les informations associées aux trois coefficients ondelettes correspondant aux trois images de détail, de façon à ne privilégier aucune direction dans l'image.
10. Procédé selon l'une quelconque des revendications 7 à 9, caractérisé en ce qu'une valeur de saillance d'un coefficient ondelette donné d'un niveau de résolution donné prend en compte la ou les valeurs de saillance des coefficients ondelettes descendant dans ladite arborescence dudit coefficient ondelette donné.
- 20 11. Procédé selon l'une quelconque des revendications 7 à 10, caractérisé en ce qu'une valeur de saillance est une relation linéaire des coefficients ondelettes associés.
- 25 12. Procédé selon la revendication 11, caractérisé en ce que la valeur de saillance d'un coefficient ondelette donné est calculée à partir des équations suivantes :

$$\begin{cases} S_{2^{-1}}(x, y) = \alpha_{-1} \left(\frac{1}{3} \sum_{u=1}^3 \frac{D_{2^{-1}}^u(x, y)}{\text{Max}(D_{2^{-1}}^u)} \right) \\ S_{2^j}(x, y) = \frac{1}{2} \left(\alpha_j \left(\frac{1}{3} \sum_{u=1}^3 \frac{D_{2^j}^u(x, y)}{\text{Max}(D_{2^j}^u)} \right) + \frac{1}{4} \sum_{u=0}^1 \sum_{v=0}^1 S_{2^{j+1}}(2x+u, 2y+v) \right) \end{cases}$$

13. Procédé selon la revendication 12, caractérisé en ce que le paramètre α_k vaut $-1/r$ pour toutes les valeurs de k .
14. Procédé selon l'une quelconque des revendications 7 à 13, caractérisé en ce que ladite étape de sélection comprend une étape de construction d'une arborescence desdites valeurs de saillance.
15. Procédé selon la revendication 14, caractérisé en ce que ladite étape de construction d'une arborescence desdites valeurs de saillance repose sur une approche de type Zerotree.
- 10 16. Procédé selon l'une quelconque des revendications 14 et 15, caractérisé en ce que ladite étape de sélection comprend les étapes de :
- tri par ordre décroissant des valeurs de saillance de la carte de saillance correspondant à la résolution minimum ;
 - sélection de la branche présentant la valeur de saillance la plus élevée pour chacun des arbres ainsi triés.
- 15 17. Procédé selon la revendication 16, caractérisé en ce que ladite étape de sélection de la branche présentant la valeur de saillance la plus élevée met en œuvre un parcours de l'arbre correspondant à partir de sa racine, et une sélection à chaque niveau de l'arbre du nœud fils présentant la valeur de saillance la plus élevée.
18. Procédé selon l'une quelconque des revendications 1 à 17, caractérisé en ce que ladite transformation en ondelettes met en œuvre la base de Haar.
19. Procédé selon l'une quelconque des revendications 1 à 18, caractérisé en ce que le niveau minimal de résolution est 2^4 .
- 25 20. Procédé selon l'une quelconque des revendications 1 à 15, caractérisé en ce qu'il comprend une étape de calcul d'une signature d'image, à partir d'un nombre prédéterminé de points d'intérêt de ladite image.

21. Procédé selon la revendication 20, caractérisé en ce que ladite signature est utilisée pour l'indexation d'images par leur contenu.

22. Application du procédé de détection de points d'intérêt dans une image numérique source selon l'une quelconque des revendications 1 à 21 à au moins un des domaines appartenant au groupe comprenant :

- le tatouage d'images ;
- l'indexation d'images ;
- la détection de visage(s) dans une image.

23. Dispositif de détection de points d'intérêt dans une image numérique source, mettant en œuvre une transformation en ondelettes associant à une image source une image sous-échantillonnée, dite image échelle, et des coefficients ondelettes correspondant à au moins une image de détails, pour au moins un niveau de décomposition,

un point d'intérêt étant un point associé à une région de l'image présentant des hautes fréquences,

caractérisé en ce qu'il comprend :

- des moyens d'application de ladite transformation en ondelettes à ladite image source ;
- des moyens de construction d'une arborescence unique, à partir des coefficients ondelettes de chacune desdites images de détails ;
- des moyens de sélection d'au moins un point d'intérêt, par analyse de ladite arborescence.

24. Programme d'ordinateur comprenant des instructions de code de programme pour l'exécution des étapes du procédé de détection de points d'intérêt dans une image numérique source selon l'une quelconque des revendications 1 à 22.

25. Produit programme d'ordinateur comprenant des instructions de code de programme enregistré sur un support utilisable dans un ordinateur, comprenant des moyens de programmation lisible par ordinateur pour la mise en œuvre d'une transformation en ondelettes associant à une image source une image

sous-échantillonnée, dite image échelle, et des coefficients ondelettes correspondant à au moins une image de détails, pour au moins un niveau de décomposition,

5 un point d'intérêt étant un point associé à une région de l'image présentant des hautes fréquences,

caractérisé en ce qu'il comprend :

- des moyens de programmation lisible par ordinateur pour effectuer l'application de ladite transformation en ondelettes à ladite image source ;

10 - des moyens de programmation lisible par ordinateur pour effectuer la construction d'une arborescence unique, à partir des coefficients ondelettes de chacune desdites images de détails ;

- des moyens de programmation lisible par ordinateur pour effectuer la sélection d'au moins un point d'intérêt, par analyse de ladite arborescence.

15

26. Support de données numériques utilisable par un ordinateur, caractérisé en ce qu'il comprend des instructions de code de programme d'un programme d'ordinateur selon l'une quelconque des revendications 24 et 25.

1/4

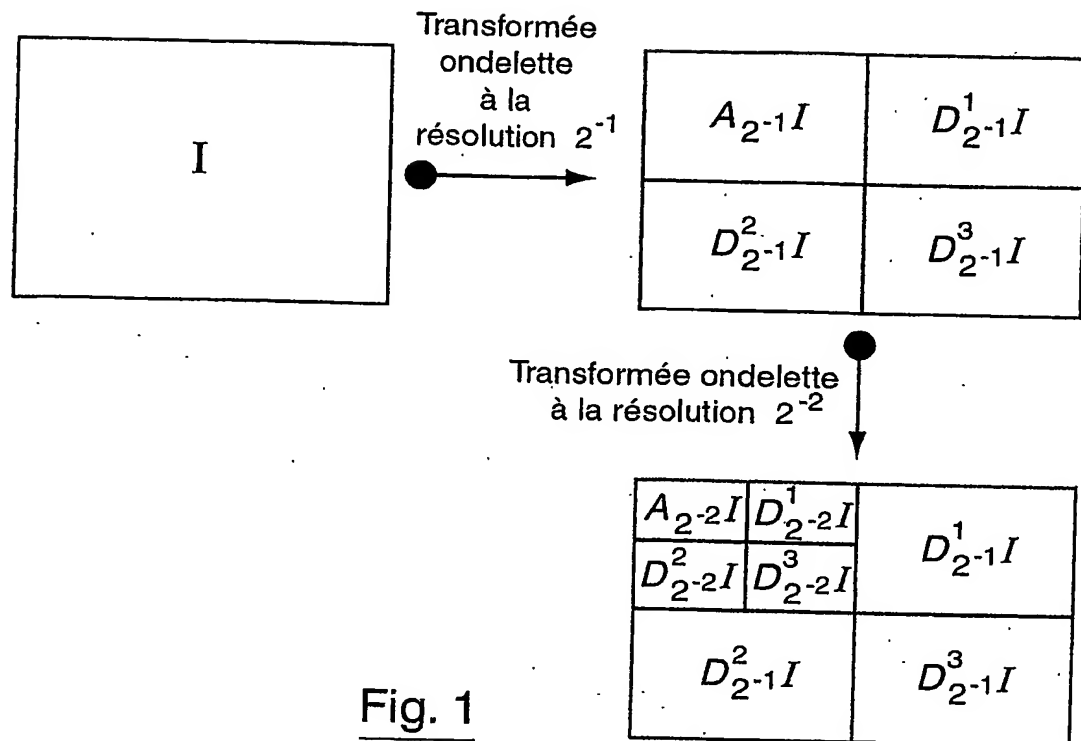
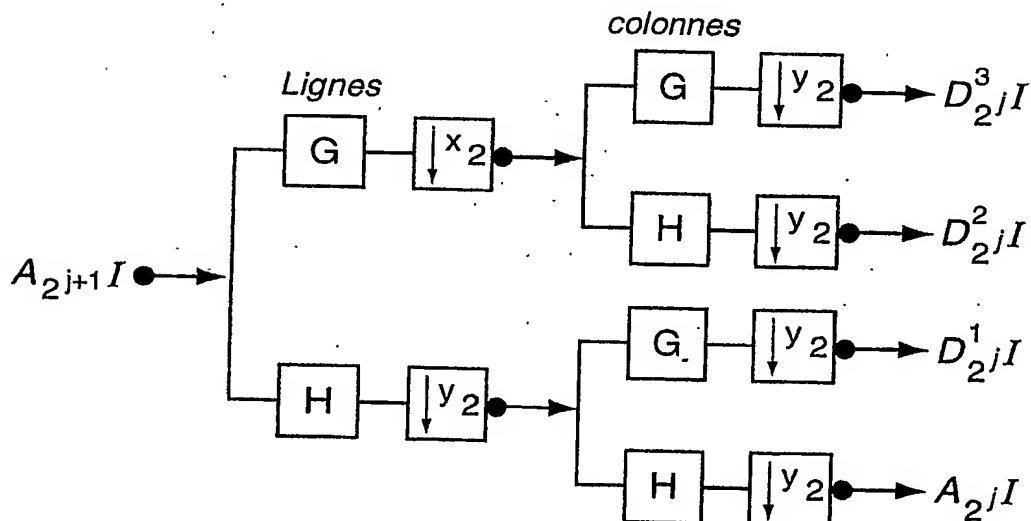


Fig. 1



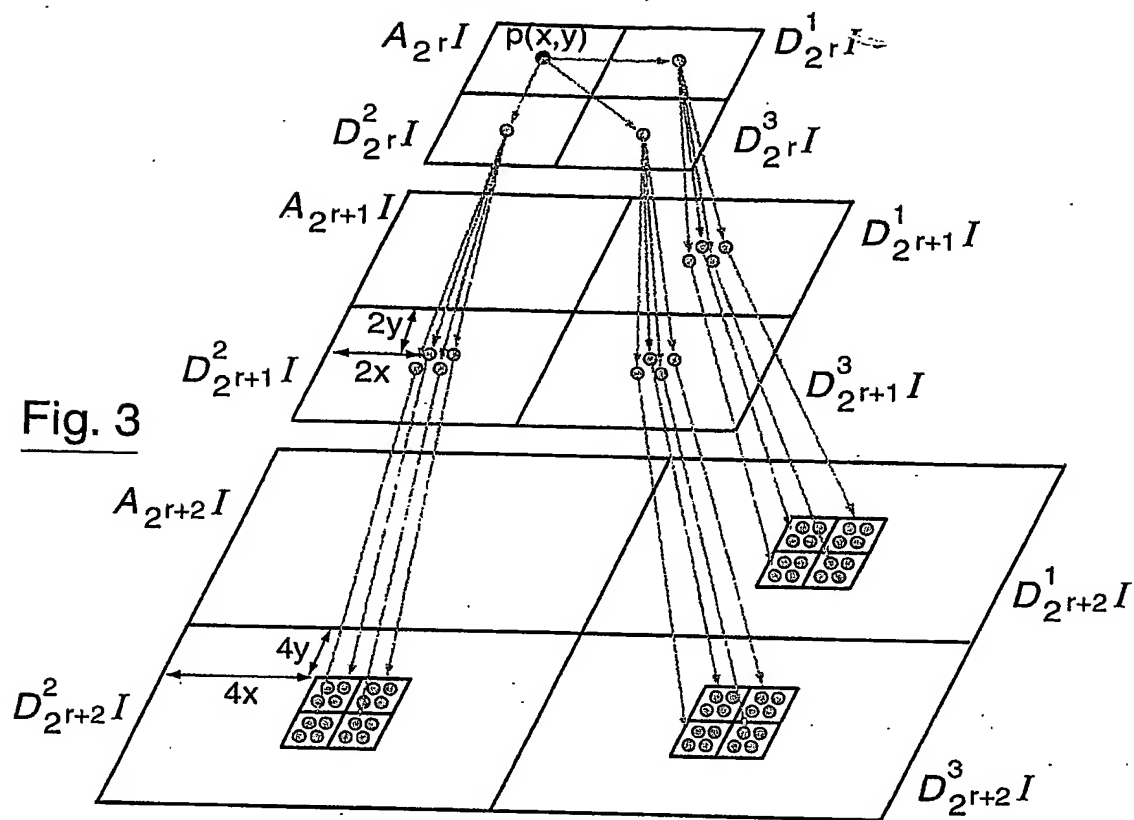
F : convolution avec le filtre F

X 2 : sous-échantillonnage d'un facteur 2 suivant les colonnes

y₂ : sous-échantillonnage d'un facteur 2 suivant les lignes

Fig. 2

2/4



S_{2^r}

3	8
25	12

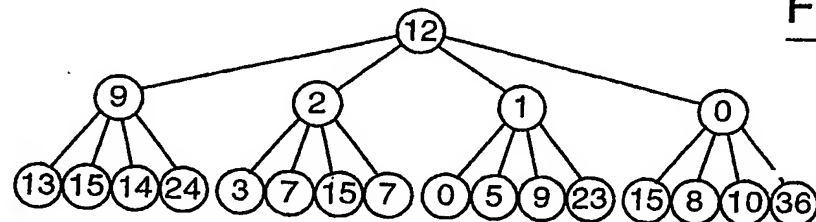
$S_{2^{r+1}}$

1	7	14	3
5	56	7	10
2	15	9	2
6	13	1	0

$S_{2^{r+2}}$

5	11	8	10	85	42	12	3
24	9	10	12	15	7	4	0
2	24	2	8	2	10	7	85
14	9	78	25	13	15	3	7
24	5	11	23	14	24	15	7
7	14	2	2	0	5	15	8
1	2	9	78	9	23	10	36

Extraction d'un arbre de saillance

Fig. 4

3/4

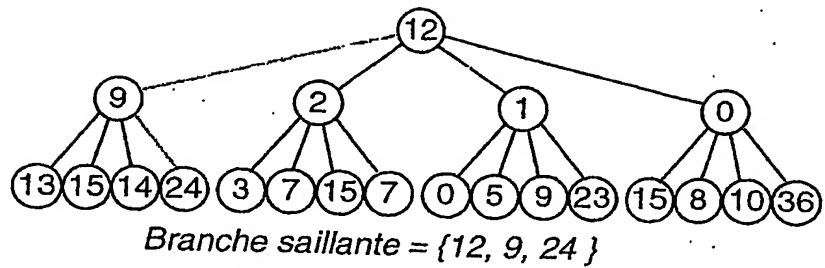


Fig. 5

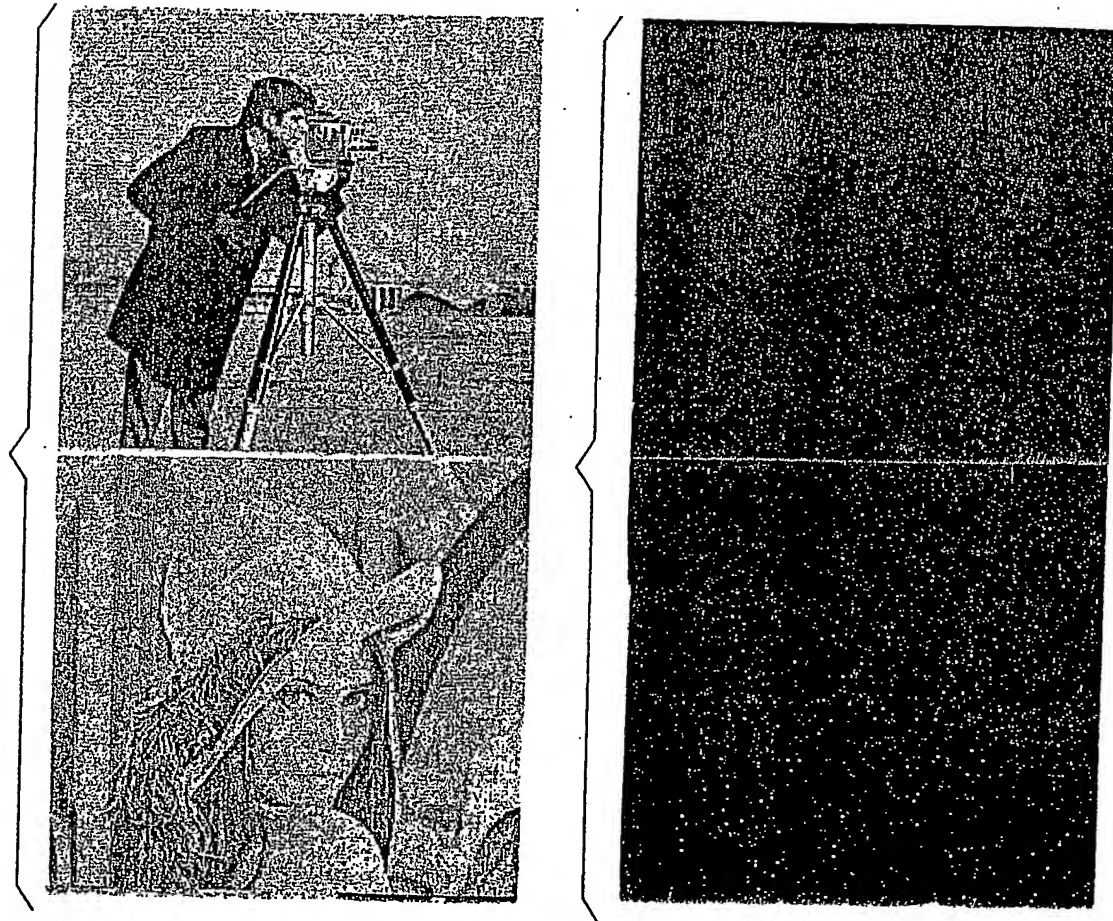


Fig. 6a

Fig. 6b

4/4

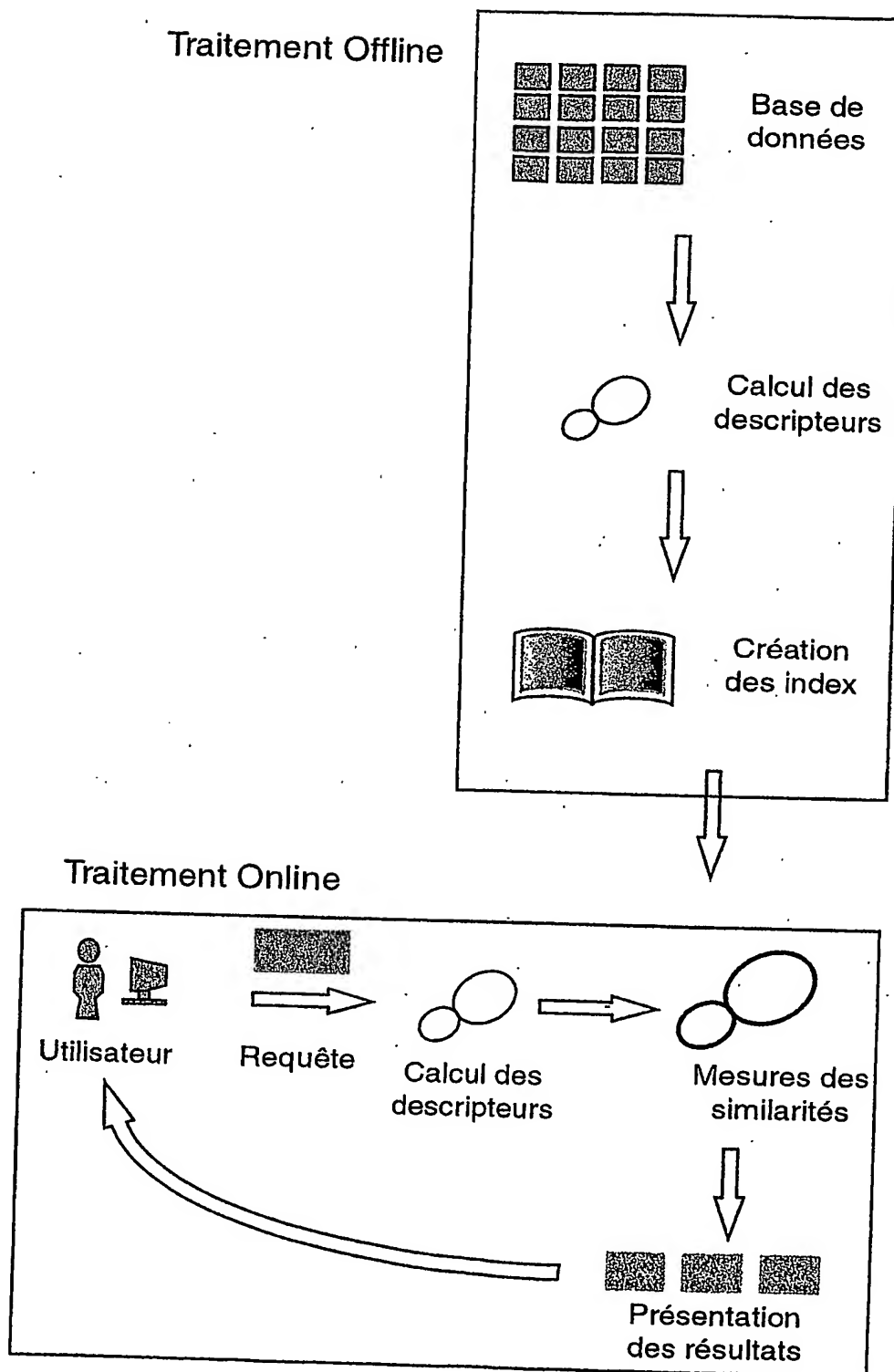


Fig. 7

INTERNATIONAL SEARCH REPORT

International Application No

PCT/FR 03/00834

A. CLASSIFICATION OF SUBJECT MATTER

IPC 7 G06T5/00 G06T5/10 G06F17/30

According to International Patent Classification (IPC) or to both national classification and IPC

B. FIELDS SEARCHED

Minimum documentation searched (classification system followed by classification symbols)
IPC 7 G06T G06F G06K

Documentation searched other than minimum documentation to the extent that such documents are included in the fields searched

Electronic data base consulted during the international search (name of data base and, where practical, search terms used)

EPO-Internal, WPI Data, PAJ, COMPENDEX, INSPEC, IBM-TDB

C. DOCUMENTS CONSIDERED TO BE RELEVANT

Category	Citation of document, with indication, where appropriate, of the relevant passages	Relevant to claim No.
X	LOUPIAS E ET AL: "Wavelet-based salient points for image retrieval" PROC. INTERNATIONAL CONFERENCE ON IMAGE PROCESSING 2000, vol. 2, 10 - 13 September 2000, pages 518-521, XP010530035 abstract chapitres 2. et 4. ----	1-3, 6-8, 10, 11, 14, 18-26
Y	----- -/-	5, 15 4, 9, 12, 13, 16, 17

Further documents are listed in the continuation of box C.

Patent family members are listed in annex.

* Special categories of cited documents :

- *A* document defining the general state of the art which is not considered to be of particular relevance
- *E* earlier document but published on or after the International filing date
- *L* document which may throw doubts on priority claim(s) or which is cited to establish the publication date of another citation or other special reason (as specified)
- *O* document referring to an oral disclosure, use, exhibition or other means
- *P* document published prior to the International filing date but later than the priority date claimed

- *T* later document published after the International filing date or priority date and not in conflict with the application but cited to understand the principle or theory underlying the Invention
- *X* document of particular relevance; the claimed Invention cannot be considered novel or cannot be considered to involve an inventive step when the document is taken alone
- *Y* document of particular relevance; the claimed invention cannot be considered to involve an inventive step when the document is combined with one or more other such documents, such combination being obvious to a person skilled in the art.
- *&* document member of the same patent family

Date of the actual completion of the international search

31 October 2003

Date of mailing of the international search report

25/11/2003

Name and mailing address of the ISA

European Patent Office, P.B. 5818 Patentlaan 2
NL - 2280 HV Rijswijk
Tel. (+31-70) 340-2040, Tx. 31 651 epo nl,
Fax (+31-70) 340-3016

Authorized officer

Engels, A

INTERNATIONAL SEARCH REPORT

International Application No

PCT/FR 03/00834

C.(Continuation) DOCUMENTS CONSIDERED TO BE RELEVANT		
Category *	Citation of document, with indication, where appropriate, of the relevant passages	Relevant to claim No.
Y	SHAPIRO J M: "EMBEDDED IMAGE CODING USING ZEROTREES OF WAVELET COEFFICIENTS" IEEE TRANSACTIONS ON SIGNAL PROCESSING, IEEE, INC. NEW YORK, US, vol. 41, no. 12, 1 December 1993 (1993-12-01), pages 3445-3462, XP000426658 ISSN: 1053-587X cited in the application chapitre B. ---	5,15
A	CHEN C-H, LEE J-S, SUN Y-N: "Wavelet Transformation for Gray-Level Corner Detection" PATTERN RECOGNITION, vol. 28, no. 6, 1995, pages 853-861, XP002259956 chapitre 4. ---	1-26
A	DE 197 44 648 A (FRAUNHOFER GES FORSCHUNG) 15 April 1999 (1999-04-15) page 1, line 1 -page 2, line 58 figures 2,3 ----	1-26

INTERNATIONAL SEARCH REPORT

International Application No

PCT/FR 03/00834

Patent document cited in search report	Publication date	Patent family member(s)	Publication date
DE 19744648	A 15-04-1999	DE 19744648 A1	15-04-1999

RAPPORT DE RECHERCHE INTERNATIONALE

Demande Internationale N°

PCT/FR 03/00834

A. CLASSEMENT DE L'OBJET DE LA DEMANDE
 CIB 7 G06T5/00 G06T5/10 G06F17/30

Selon la classification internationale des brevets (CIB) ou à la fois selon la classification nationale et la CIB

B. DOMAINES SUR LESQUELS LA RECHERCHE A PORTE

Documentation minimale consultée (système de classification suivi des symboles de classement)
 CIB 7 G06T G06F G06K

Documentation consultée autre que la documentation minimale dans la mesure où ces documents relèvent des domaines sur lesquels a porté la recherche

Base de données électronique consultée au cours de la recherche internationale (nom de la base de données, et si réalisable, termes de recherche utilisés)
EPO-Internal, WPI Data, PAJ, COMPENDEX, INSPEC, IBM-TDB

C. DOCUMENTS CONSIDERES COMME PERTINENTS

Catégorie	Identification des documents cités, avec, le cas échéant, l'indication des passages pertinents	no. des revendications visées
X	LOUPIAS E ET AL: "Wavelet-based salient points for image retrieval" PROC. INTERNATIONAL CONFERENCE ON IMAGE PROCESSING 2000, vol. 2, 10 - 13 septembre 2000, pages 518-521, XP010530035 abrégé chapitres 2. et 4. ---	1-3, 6-8, 10, 11, 14, 18-26
Y A	---	5, 15 4, 9, 12, 13, 16, 17

Voir la suite du cadre C pour la fin de la liste des documents

Les documents de familles de brevets sont indiqués en annexe

* Catégories spéciales de documents cités:

- *A* document définissant l'état général de la technique, non considéré comme particulièrement pertinent
- *E* document antérieur, mais publié à la date de dépôt international ou après cette date
- *L* document pouvant jeter un doute sur une revendication de priorité ou cité pour déterminer la date de publication d'une autre citation ou pour une raison spéciale (elle qu'indiquée)
- *O* document se référant à une divulgation orale, à un usage, à une exposition ou tous autres moyens
- *P* document publié avant la date de dépôt international, mais postérieurement à la date de priorité revendiquée

- *T* document ultérieur publié après la date de dépôt international ou la date de priorité et n'appartenant pas à l'état de la technique pertinent, mais cité pour comprendre le principe ou la théorie constituant la base de l'invention
- *X* document particulièrement pertinent; l'invention revendiquée ne peut être considérée comme nouvelle ou comme impliquant une activité inventive par rapport au document considéré isolément
- *Y* document particulièrement pertinent; l'invention revendiquée ne peut être considérée comme impliquant une activité inventive lorsque le document est associé à un ou plusieurs autres documents de même nature, cette combinaison étant évidente pour une personne du métier
- *&* document qui fait partie de la même famille de brevets

Date à laquelle la recherche internationale a été effectivement achevée

31 octobre 2003

Date d'expédition du présent rapport de recherche internationale

25/11/2003

Nom et adresse postale de l'administration chargée de la recherche internationale
 Office Européen des Brevets, P.B. 5818 Patentlaan 2
 NL - 2280 HV Rijswijk
 Tel. (+31-70) 340-2040, Tx. 31 651 epo nl,
 Fax: (+31-70) 340-3016

Fonctionnaire autorisé

Engels, A

RAPPORT DE RECHERCHE INTERNATIONALE

Demande internationale No

PCT/FR 03/00834

C.(suite) DOCUMENTS CONSIDERES COMME PERTINENTS		
Catégorie	Identification des documents cités, avec, le cas échéant, l'indication des passages pertinents	no. des revendications visées
Y	SHAPIRO J M: "EMBEDDED IMAGE CODING USING ZEROTREES OF WAVELET COEFFICIENTS" IEEE TRANSACTIONS ON SIGNAL PROCESSING, IEEE, INC. NEW YORK, US, vol. 41, no. 12, 1 décembre 1993 (1993-12-01), pages 3445-3462, XP000426658 ISSN: 1053-587X cité dans la demande chapitre B. ---	5,15
A	CHEN C-H, LEE J-S, SUN Y-N: "Wavelet Transformation for Gray-Level Corner Detection" PATTERN RECOGNITION, vol. 28, no. 6, 1995, pages 853-861, XP002259956 chapitre 4. ---	1-26
A	DE 197 44 648 A (FRAUNHOFER GES FORSCHUNG) 15 avril 1999 (1999-04-15) page 1, ligne 1 -page 2, ligne 58 figures 2,3 -----	1-26

RAPPORT DE RECHERCHE INTERNATIONALE

Demande Internationale No

PCT/FR 03/00834

Document brevet cité au rapport de recherche	Date de publication	Membre(s) de la famille de brevet(s)	Date de publication
DE 19744648	A 15-04-1999	DE 19744648 A1	15-04-1999